

Image Warping Report

郑凯文

2021 年 3 月 23 日

1 仿射变换

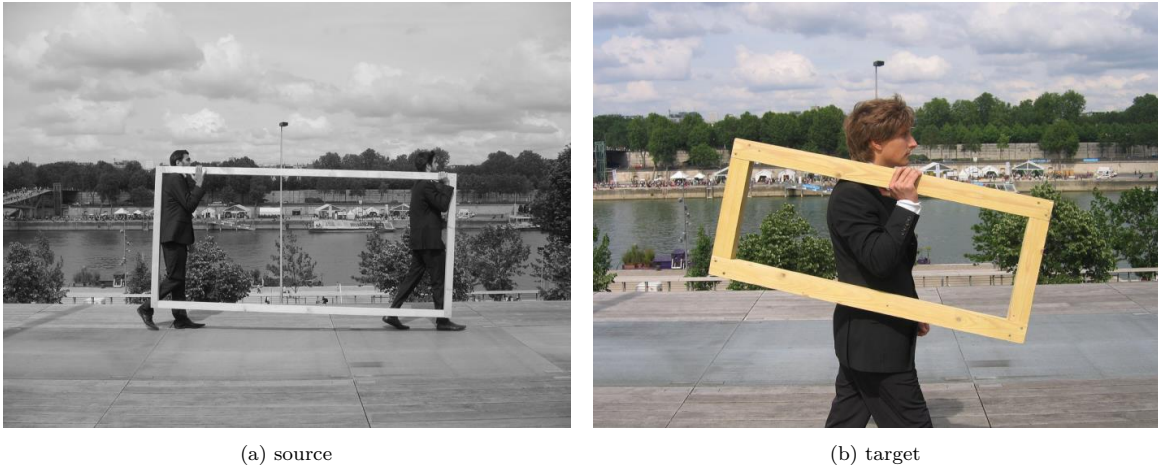


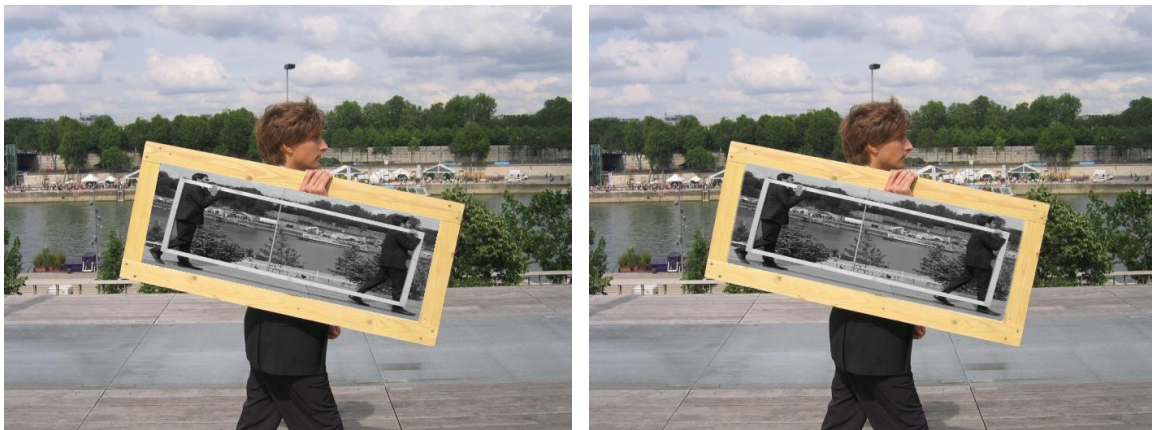
图 1: 原图

在原图中选定 $(157, 176)$, $(157, 411)$, $(575, 411)$, $(575, 176)$ 四个点, 对应于目标图的 $(193, 194)$, $(169, 316)$, $(509, 388)$, $(536, 264)$, 原图到目标图的变换使用齐次坐标表示为

$$\begin{bmatrix} a & b & c \\ d & e & f \\ 0 & 0 & 1 \end{bmatrix} \cdot \begin{bmatrix} x \\ y \\ 1 \end{bmatrix} = \begin{bmatrix} x' \\ y' \\ 1 \end{bmatrix} \quad (1)$$

将选定区域近似为矩形, 利用四组对应点中的三组 (或用上全部四组并进行最小二乘) 可唯一求得变换参数, 进而确定变换 \mathbf{T} 和逆变换 \mathbf{T}^{-1} 。使用inverse warping, 对于目标图中的每一点, 得到原图中对应点并使用双线性插值获取平滑的像素值。效果如下:

这时框中的直线很光滑了, 但框的边界仍然有明显的锯齿。于是再次对边界进行双线性插值, 可以得到平滑的边界 (图2b)。



(a) 双线性插值

(b) 双线性插值+边界平滑

图 2: 仿射变换

2 球形变换

利用课件中的公式进行球形变换，对于目标图中的某点 (r_{out}, c_{out}) ，利用下列公式得到原图中的某点 (r_{in}, c_{in})

$$\begin{aligned}
 \rho &= \sqrt{r_{out}^2 + c_{out}^2} \\
 \theta &= \tan^{-1} \left(\frac{r_{out}}{c_{out}} \right) \\
 \phi &= \sin^{-1} \left(\frac{\rho}{\rho_0} \right) \\
 d &= \frac{2}{\pi} d_0 \phi \\
 r_{in} &= d \sin \theta \\
 c_{in} &= d \cos \theta
 \end{aligned} \tag{2}$$

其中 $\rho_0 = \frac{1}{2} \min(R_{out}, C_{out})$, $d_0 = \frac{1}{2} \max(R_{in}, C_{in})$ 。这同样是inverse warping，我也使用了双线性插值来使图像更平滑。

注意到球是不完整的，上下各缺失了一块，这是由于图像的宽度大于高度，公式中将二者之中较大者与球的半圈匹配。



(a) 原图



(b) 效果图

图 3: 球形变换

3 鱼眼变换

我实现的鱼眼变换使用了如下的inverse warping:

$$\begin{aligned}
 \rho &= \sqrt{r_{out}^2 + c_{out}^2} \\
 \theta &= \tan^{-1} \left(\frac{r_{out}}{c_{out}} \right) \\
 d &= c \cdot \exp \left(\frac{\rho^{1/2.1}}{1.8} \right) \\
 r_{in} &= d \sin \theta \\
 c_{in} &= d \cos \theta
 \end{aligned} \tag{3}$$

其中 c 是控制图像大小的参数。从直觉上解释，上述变换利用了指数函数增加先慢后快的特点，对极坐标系下的 ρ 进行变换而维持了 θ 不变，从而达到图像中心急剧“膨胀”的效果。对于 $T^{-1} : \rho \rightarrow d$ ，从公式

$$p(\rho) = p(d) \frac{dT^{-1}}{d\rho} \tag{4}$$

可以看出，在 d 和 ρ 较小时，逆变换的导数也较小，从而变换后的图像在中心附近呈现出低密度的状态。

4 附录：mapping onto a general surface

这是课上一位同学探究的方向，我觉得很有趣就复现了一下。这个general surface其实也并不那

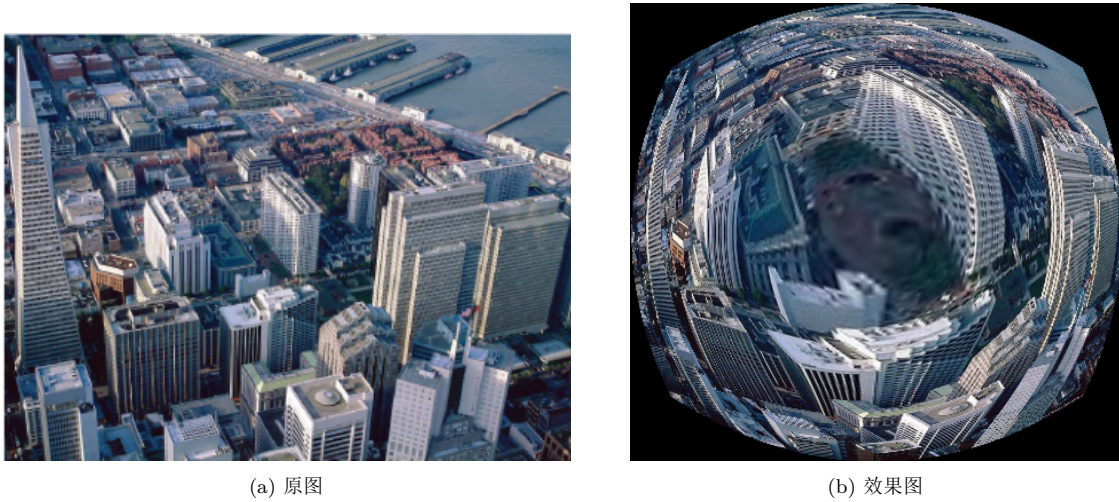


图 4: 鱼眼变换

么general, 大概下面这个参数曲面的形式

$$\begin{cases} x(t, \theta) = x(t) \sin \theta \\ y(t, \theta) = y(t) \sin \theta \\ z(t, \theta) = h \cos \theta \end{cases} \quad (5)$$

这可以看作是 xy 平面内的参数曲线向 z 方向扩展得到, 我们的视角就是沿 z 轴面向 xy 平面。在原图“贴”在上述曲面的前提下, 希望能找到目标图中 (x, y) 位置的像素点在原图的对应位置, 从而进行inverse warping。为了简便起见, 以下叙述中原图和目标图的 (x, y) 坐标都是通过平移、反转后的, 以保证图像中心的坐标是 $(0, 0)$, x 轴朝右, y 轴朝上(前)。

目标图的 (x, y) 坐标就是在 xy 平面的投影, 这样对于某个输出点, 可以通过以下方程确定曲面上对应点

$$\begin{cases} k \cdot x(t, \theta) = x_{out} \\ k \cdot y(t, \theta) = y_{out} \end{cases} \quad (6)$$

其中 k 是尺寸系数, 图像的尺寸以像素计。观察到上述方程可以首先转化为 t 的一元方程 $y_{out}x(t) - x_{out}y(t) = 0$, 解出使得 $(x(t_0), y(t_0))$ 与 (x_{out}, y_{out}) 在同一象限的 t_0 , 进而

$$\theta_0 = \sin^{-1} \frac{x_{out}}{k \cdot x(t_0)} = \sin^{-1} \frac{y_{out}}{k \cdot y(t_0)} \quad (7)$$

下一步是由 (t_0, θ_0) 得到对应的 (x_{in}, y_{in}) 。要得到对应原图的位置, 需要对“贴合”做一个定义。将 t 看作 $(0, 2\pi)$ 的一个角度变量(如果定义域不是, 需要scale), 一定程度代表了原图中 (x, y) 的方向。使用极坐标的思想, 下面就是要找与原点的距离 d , 我们固定 $t = t_0$ 不变, 用曲面上变化 θ 得到的曲线的长度比例来表征距离

$$d = d_0 \frac{\int_0^{\theta_0} \sqrt{(x^2(t_0) + y^2(t_0)) \cos^2 \phi + h^2 \sin^2 \phi} d\phi}{\int_0^{\pi/2} \sqrt{(x^2(t_0) + y^2(t_0)) \cos^2 \phi + h^2 \sin^2 \phi} d\phi} \quad (8)$$

这里 d_0 与原图覆盖曲面的比例有关, 我们简单地取 $d_0 = \frac{1}{2} \max(R_{in}, C_{in})$ 。假设 $x(0), y(0)$ 在y轴正半轴上, 我们就得到了原图中的对应点

$$\begin{aligned} x_{in} &= d \sin(t_0) \\ y_{in} &= d \cos(t_0) \end{aligned} \quad (9)$$

如果我们取

$$\begin{cases} x(t) = \sin t \\ y(t) = \cos t \\ h = 1 \end{cases} \quad (10)$$

即球的极坐标形式, 可以轻易发现上述流程得到的便是sphere warping。取如下的心形曲线

$$\begin{cases} x(t) = 16 \sin t - 4 \sin 3t \\ y(t) = 15 \cos t - 5 \cos 2t - 2 \cos 3t - \cos 4t \\ h = 8 \end{cases} \quad (11)$$

我们就得到了图5的效果。



(a) 原图



(b) 效果图

图 5: 心形映射